DISMINUCIÓN DE RUIDO ELECTROMAGNÉTICO EN EL PATRÓN DE TENSIÓN ELÉCTRICA CONTINUA EN BASE AL EFECTO JOSEPHSON DEL CENAM



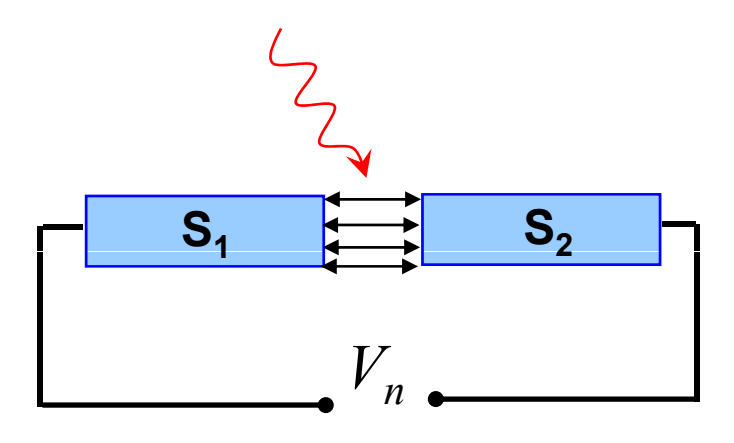
David Avilés Dionisio Hernández Enrique Navarrete



Introducción

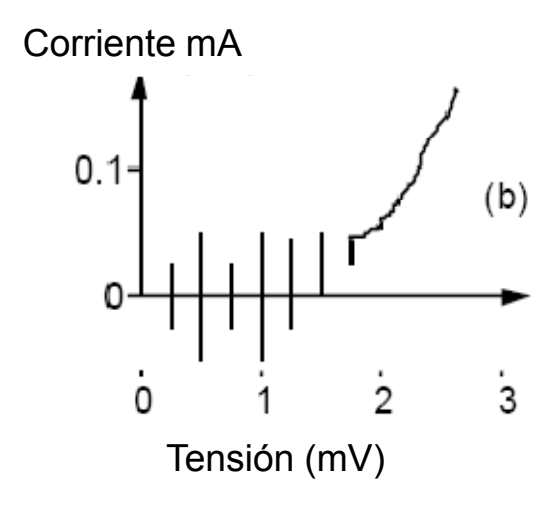
Patrón nacional del volt:

Principio de operación



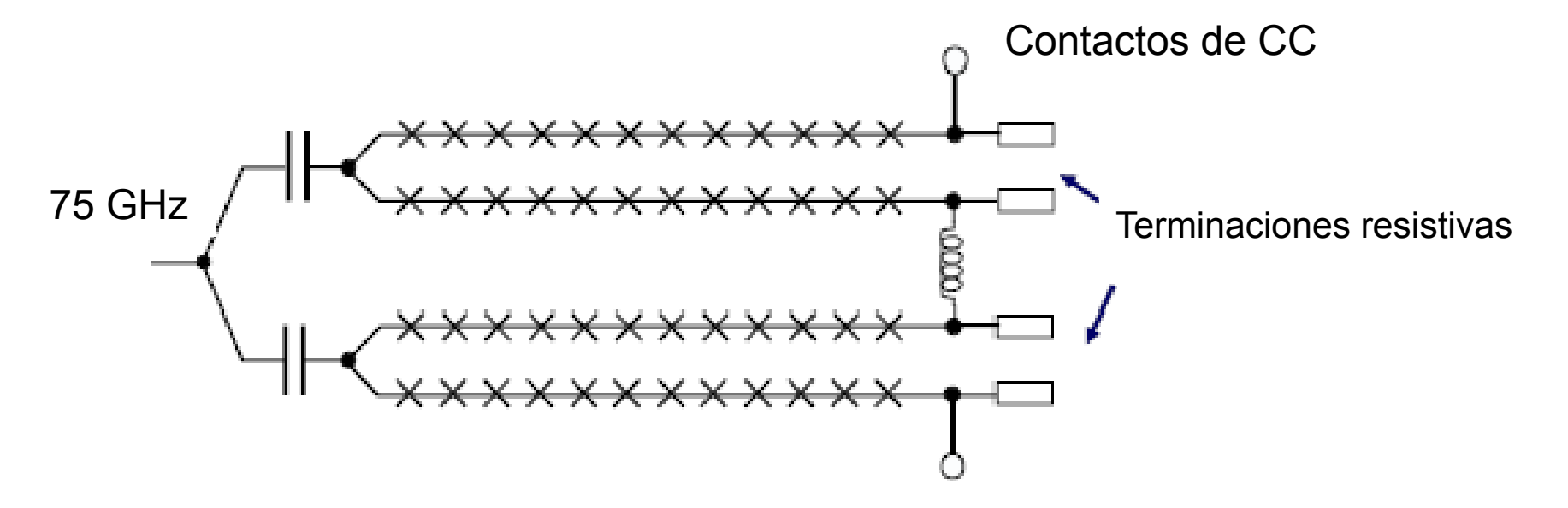
$$V_n = n \frac{h}{2e} f = n K_{\rm J}^{-1} f$$

Efecto Josephson en CA



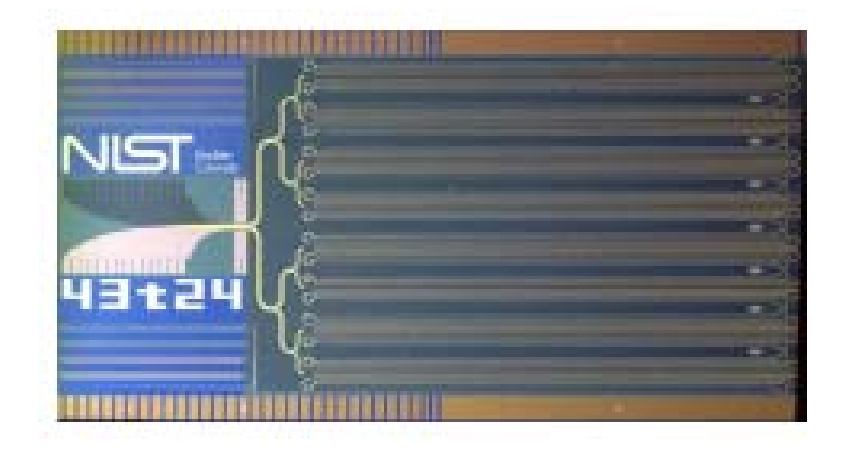
Unión Josephson de alta capacitancia

Arreglos Josephson



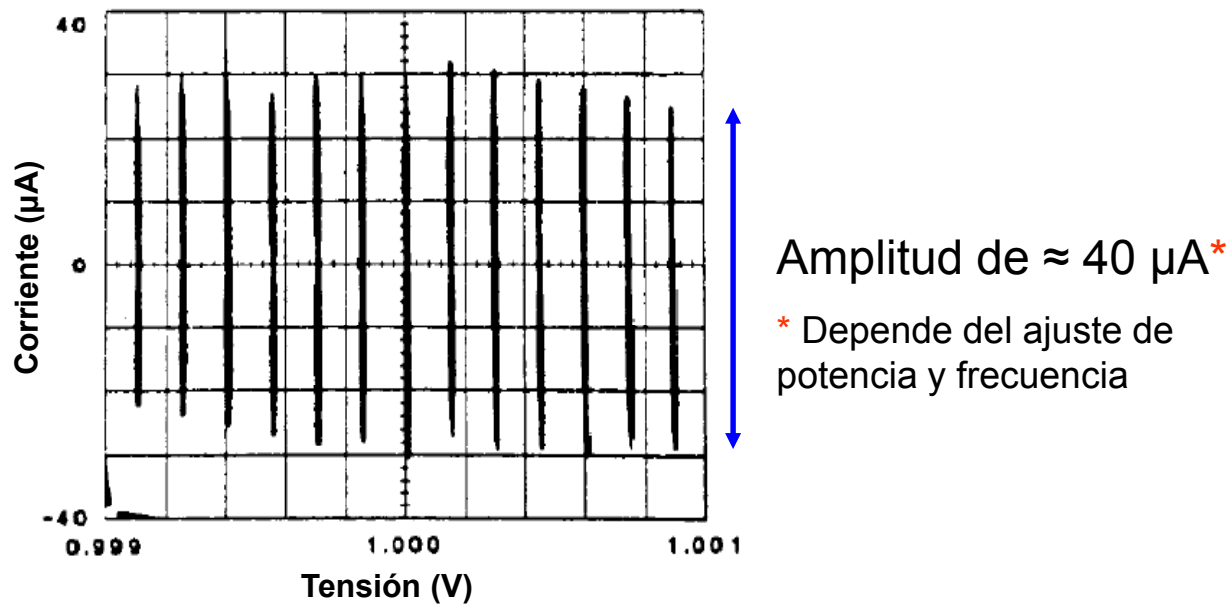
20 000 uniones conectadas en serie Tecnología SNS

Escalones a 75 GHZ de 150 μV



Origen de la alta susceptibilidad al ruido electromagnético.

Uniones Josephson de alta capacitancia



Gráfica corriente – tensión de un arreglo Josephson polarizado alrededor de 1 V a una frecuencia de 72 GHz.

Principales fuentes de ruido electromagnético

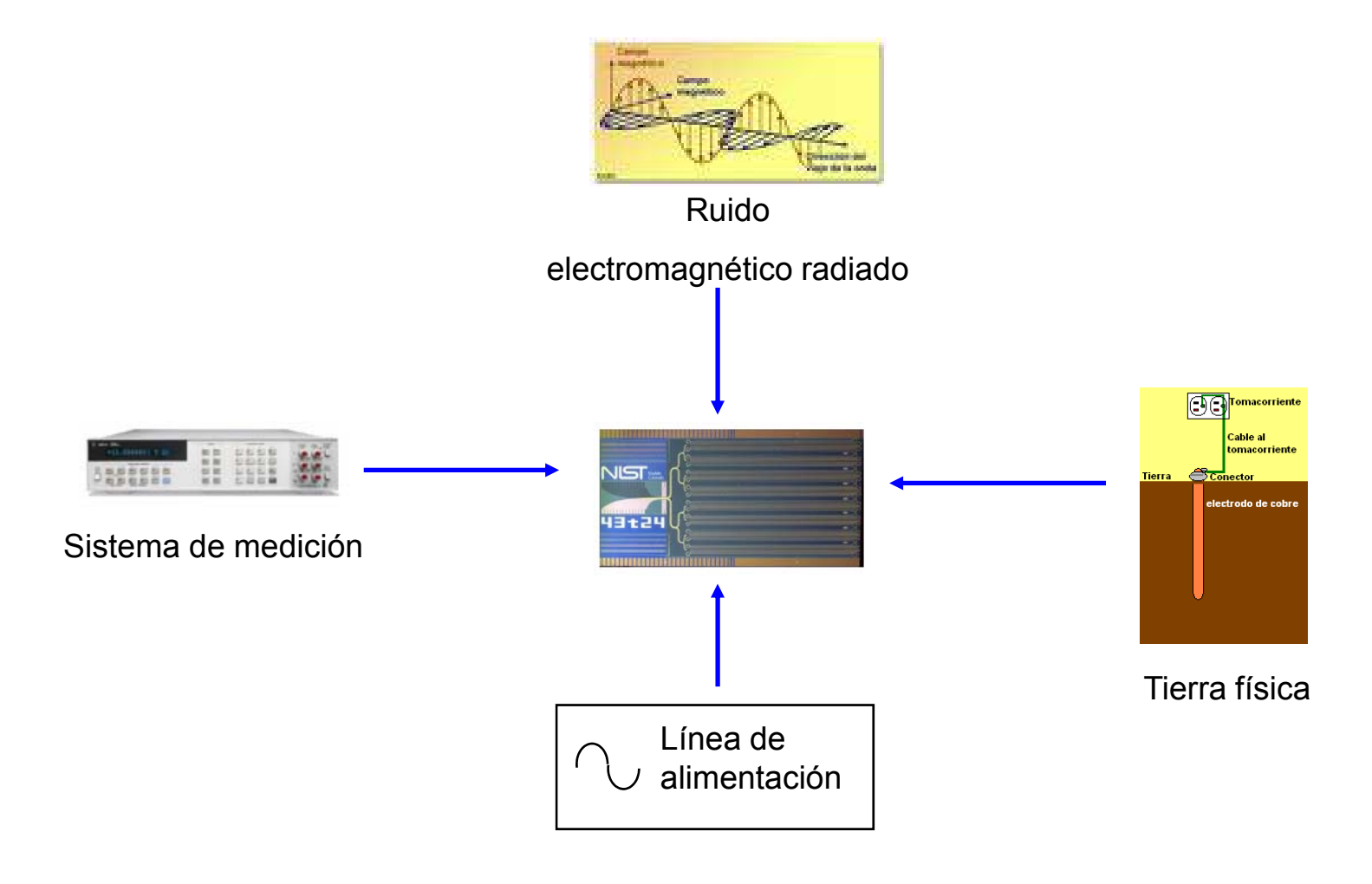
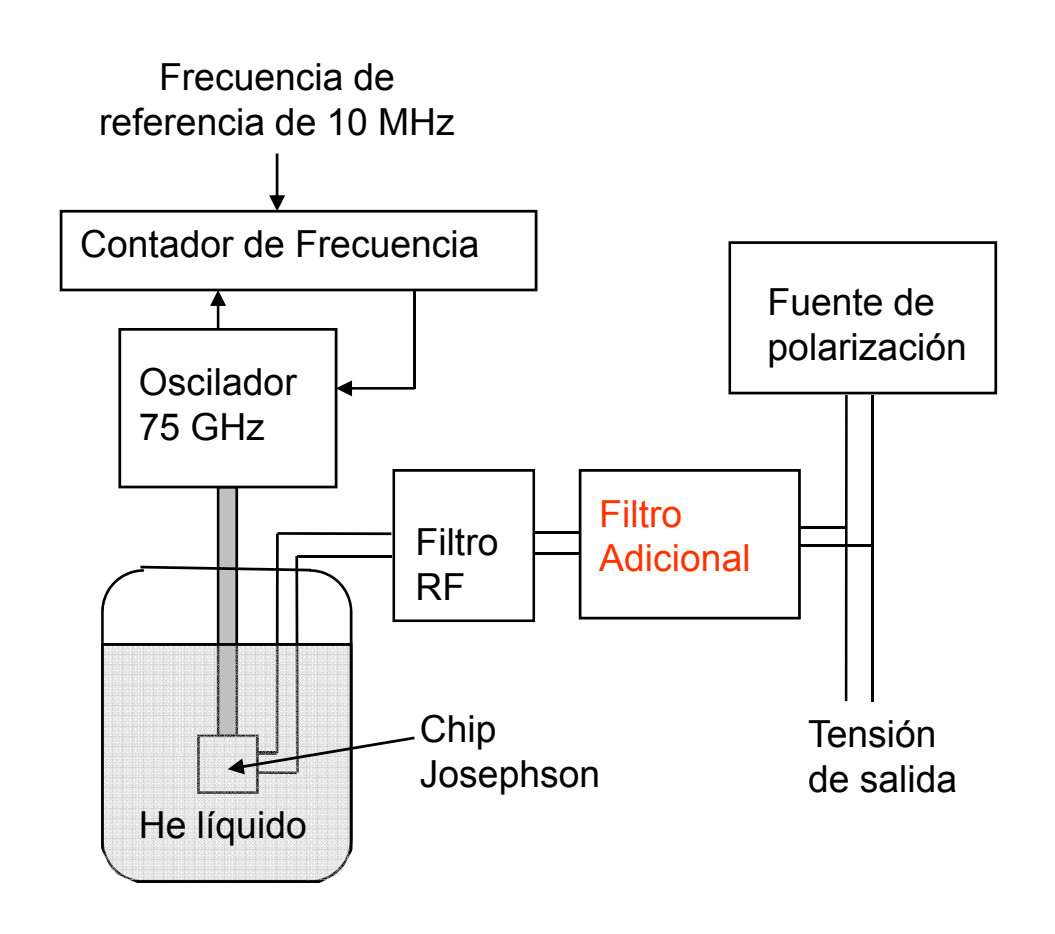


Diagrama a bloques del patrón de efecto Josephson





Jaula de Faraday

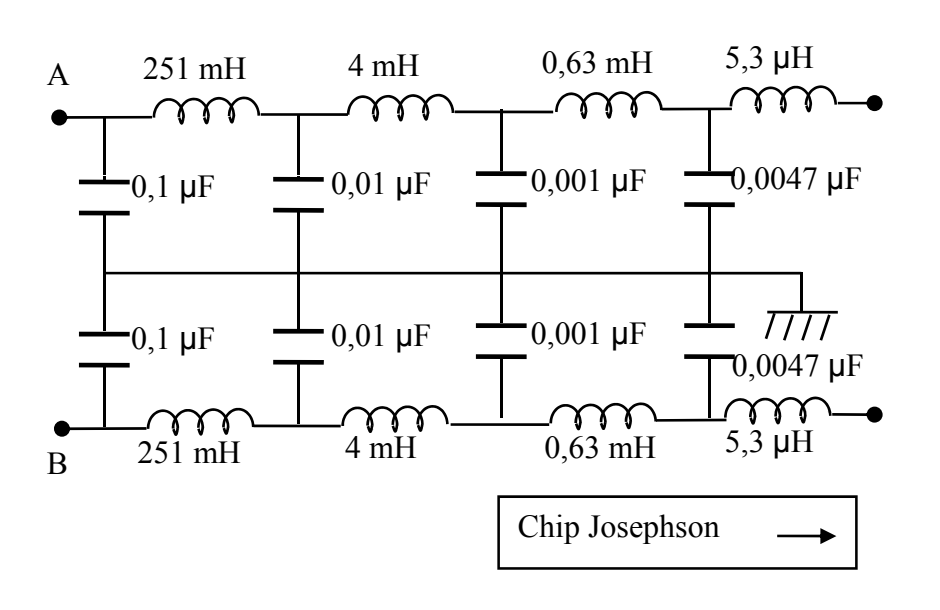
Condiciones de utilización:

- Filtros de línea
- Filtros de RF (panal de abeja)
- Aislamiento eléctrico del Sistema Aire Acondicionado
- Filtros especiales para señales de voz y datos
- Blindaje de cables de entrada/salida
- Conexión a tierra física
- Iluminación incandescente y fluorescente (balastra fuera de la jaula)

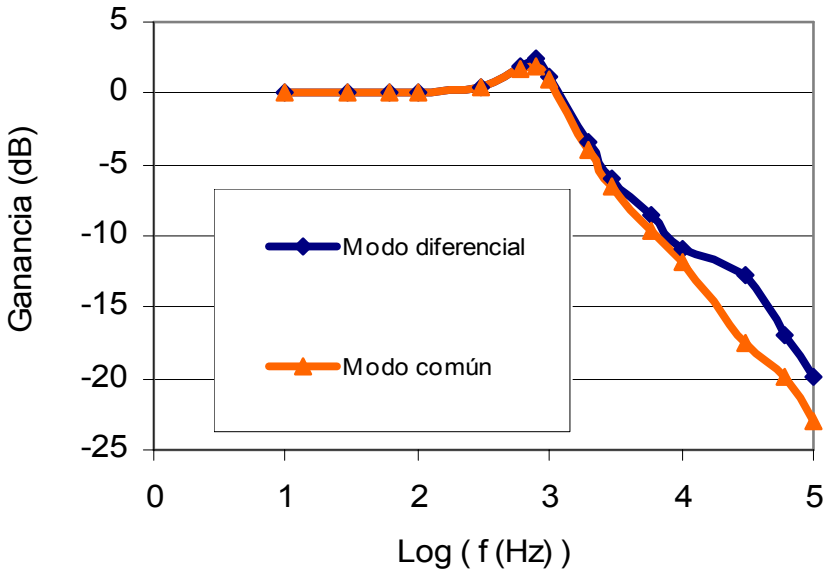
¡Pero Hay fuentes de ruido en el interior de la Jaula!

Antes que nada buenas prácticas de conexión de blindajes, guardas y tierras

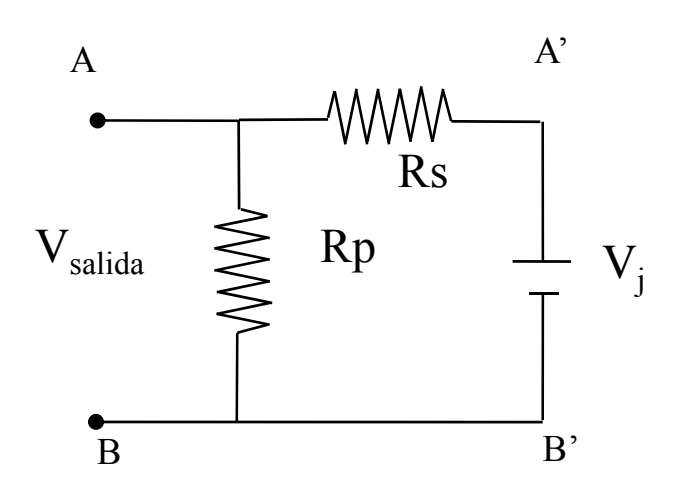
Filtro pasa bajas (adicional)



Funciones de transferencia del filtro



Error sistemático por la introducción del filtro pasa bajas

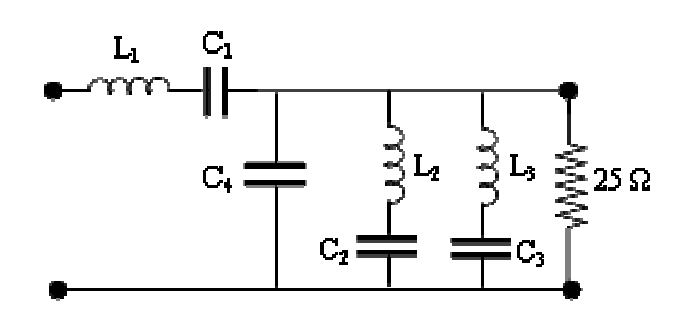


$$R_s$$
 = 1,5 Ω
 R_p = 5 X 10 ¹¹ Ω

 Error por la introducción del filtro < 0,1 nV (peor caso Vj = 10 V)

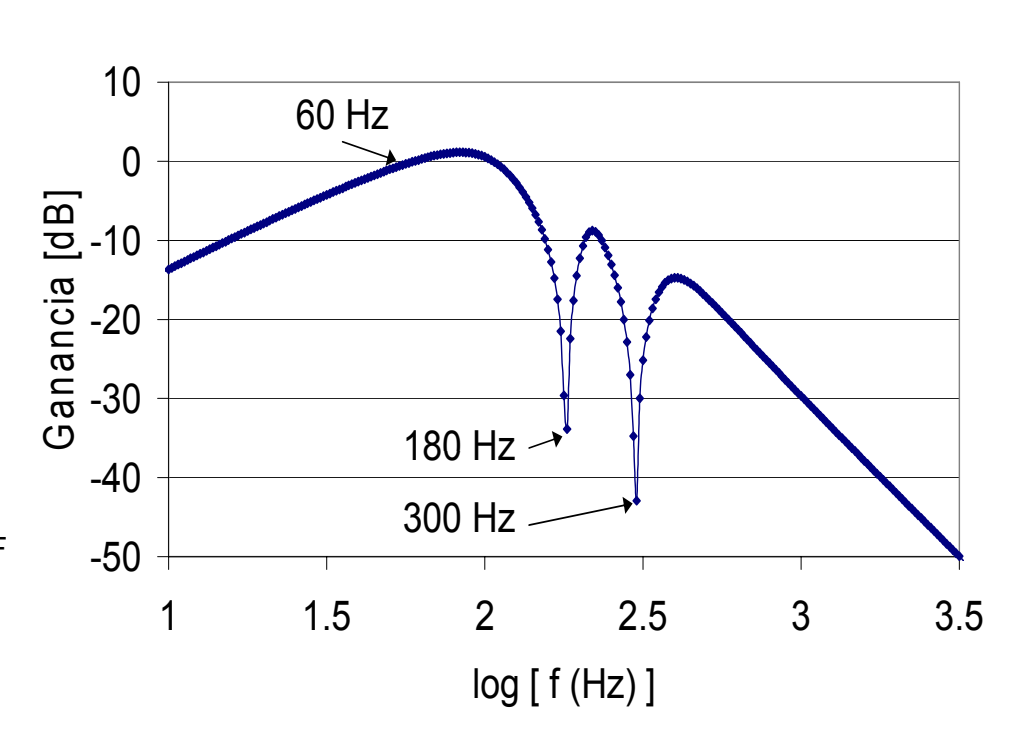
Mejorando la calidad de la línea de alimentación.

Filtro de armónicas



- L1= 53,4 mH, L2=55,2 mH, L3=28,14 mH
- C1= 133,1 μF, C3=14,1 μF, C3=10 μF, C4= 15 μF

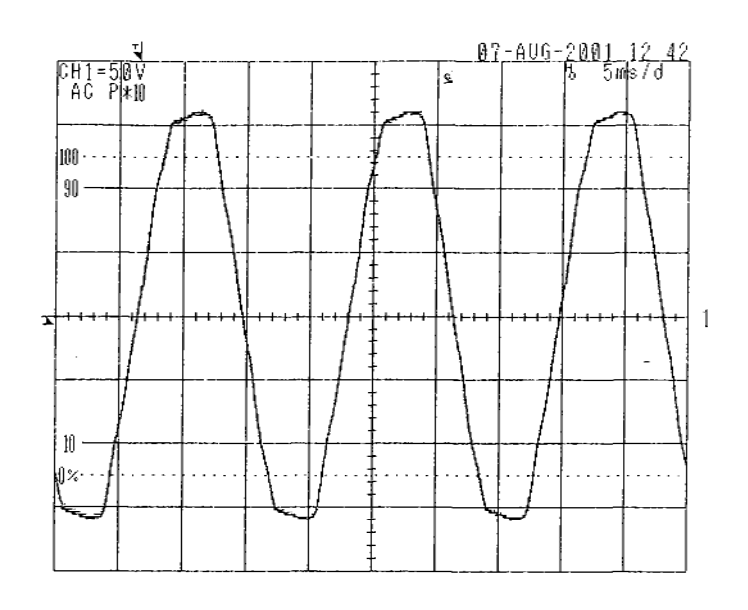
filtro de armónicas



Filtro de armónicas

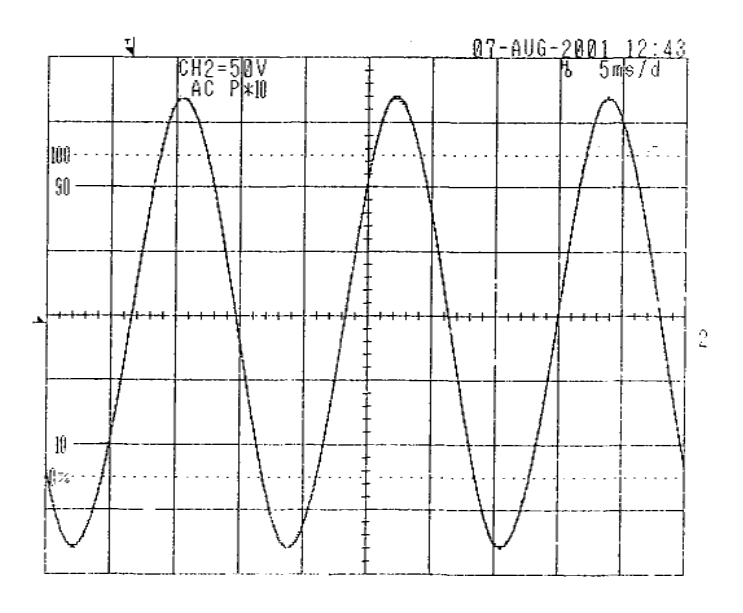


Disminución de la distorsión armónica



Antes del filtro:

Distorsión armónica total 11%



Después del filtro:

Distorsión armónica total < 1%

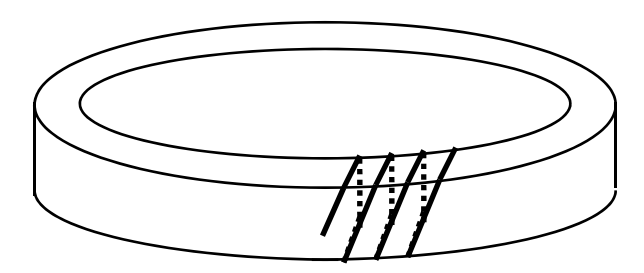
Transformador de aislamiento

Principio de operación:



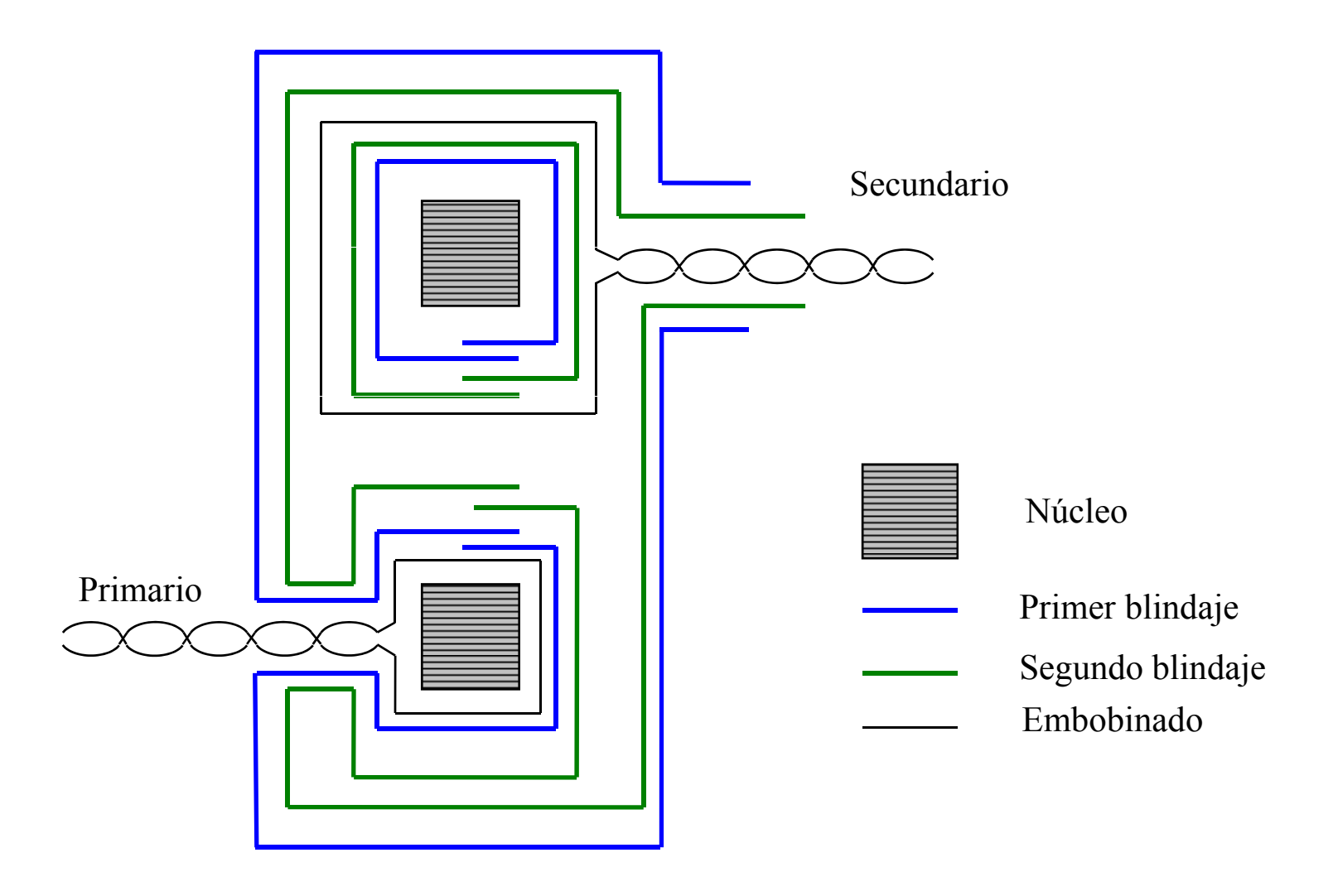
Transformador normal

Transformador de aislamiento 1:1



Transformador de aislamiento toroidal

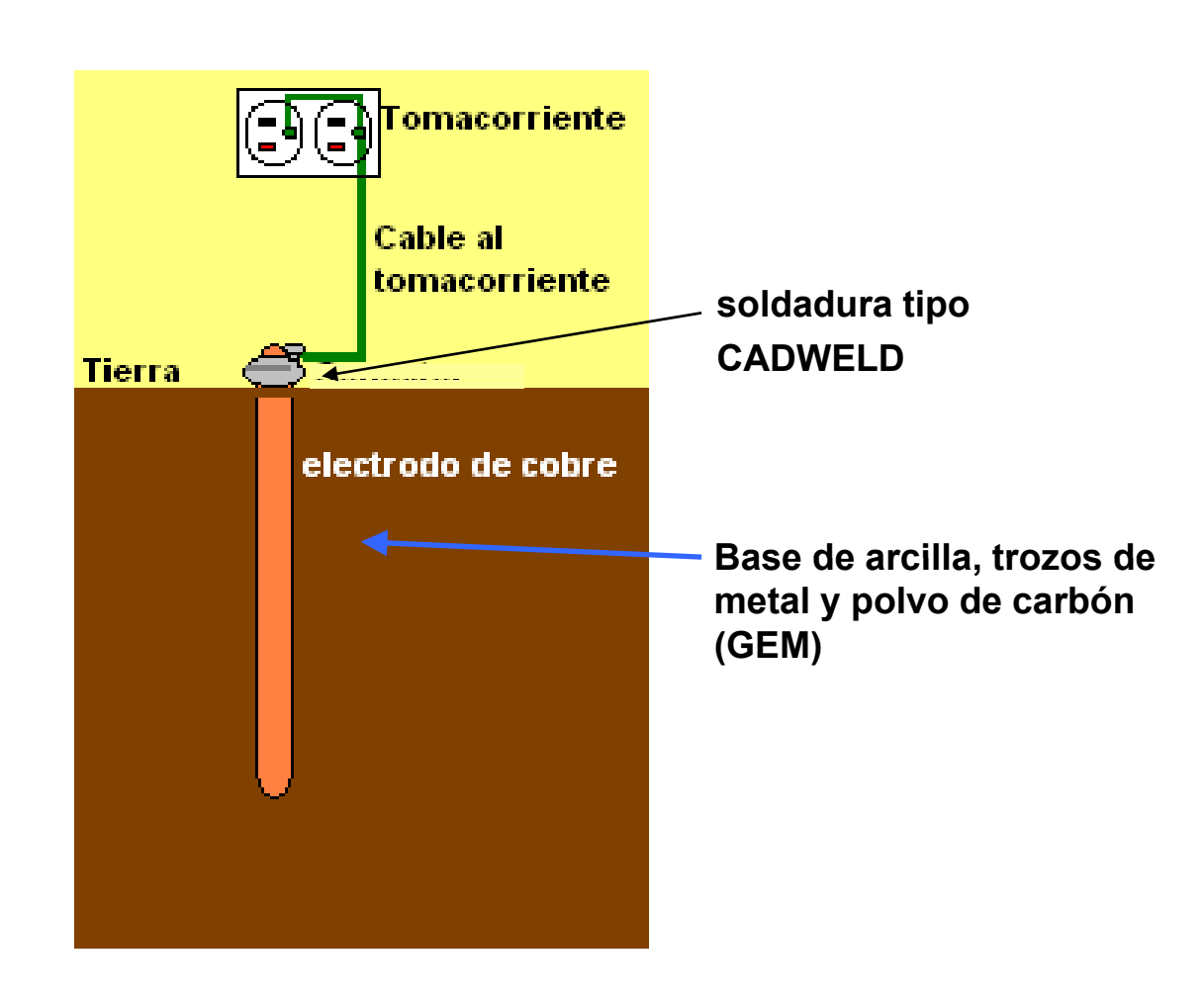
Transformador de aislamiento



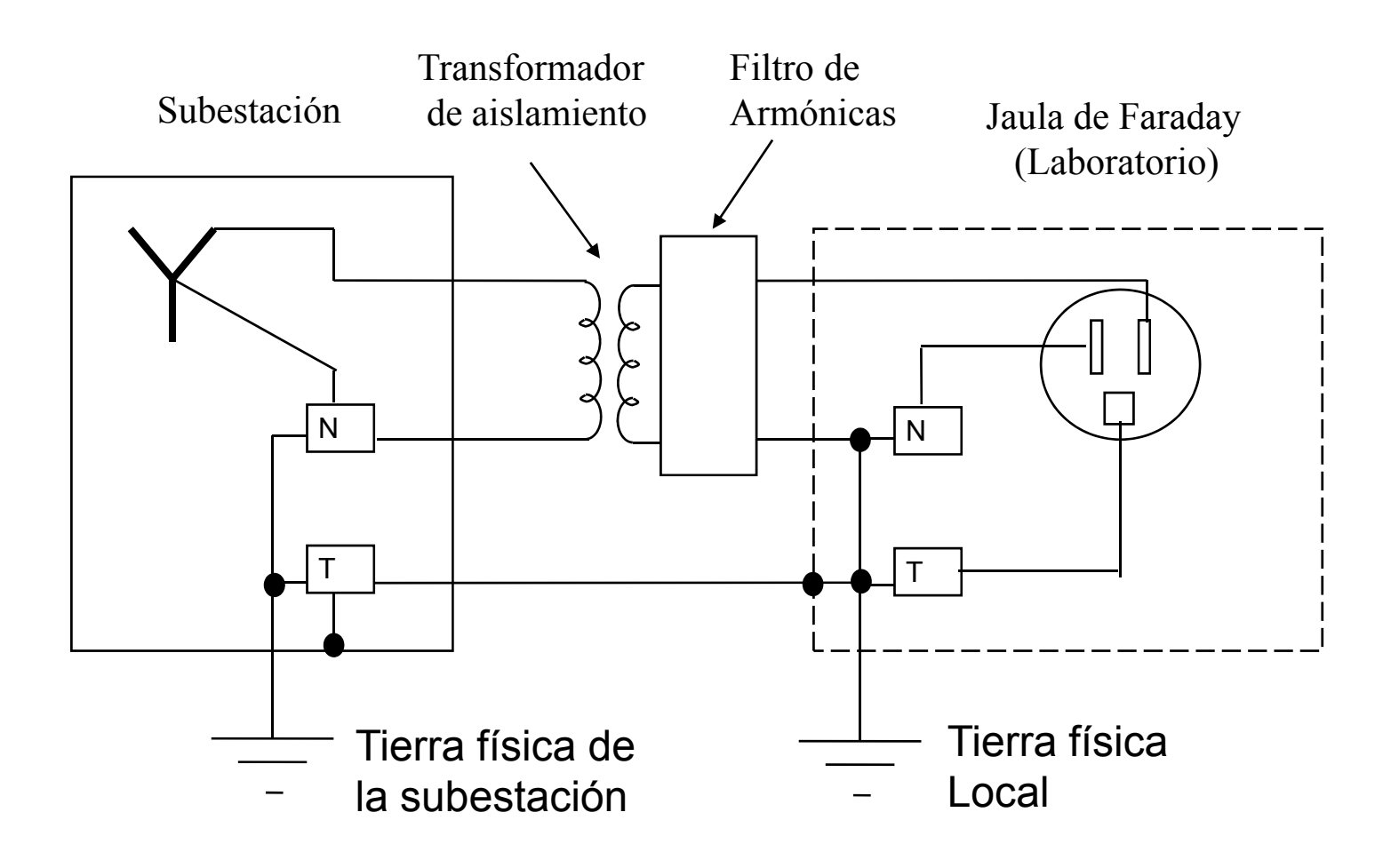
Transformador de aislamiento



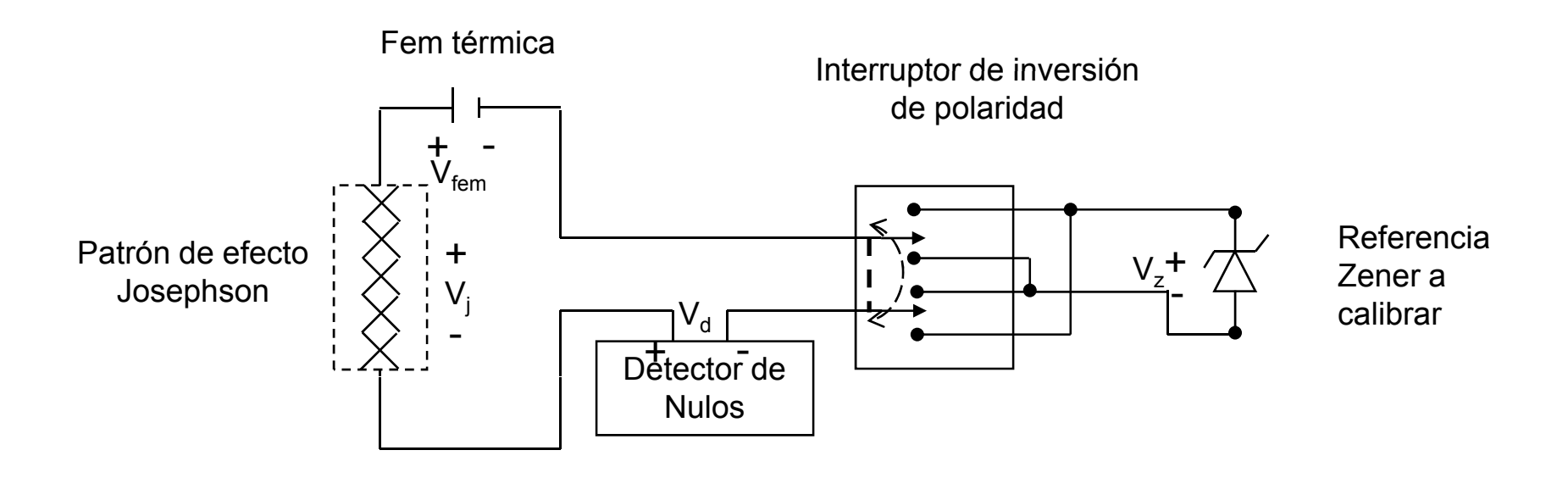
Tierra física local



Sistema eléctrico del Laboratorio



El sistema de medición



$$V_{d1} = -V_{j1} + V_{fem} + V_z + V_{off}$$
 (1)

$$V_{d2} = + V_{j2} + V_{fem} - V_z + V_{off}$$
 (2)

Restando (1) de (2) tenemos que:

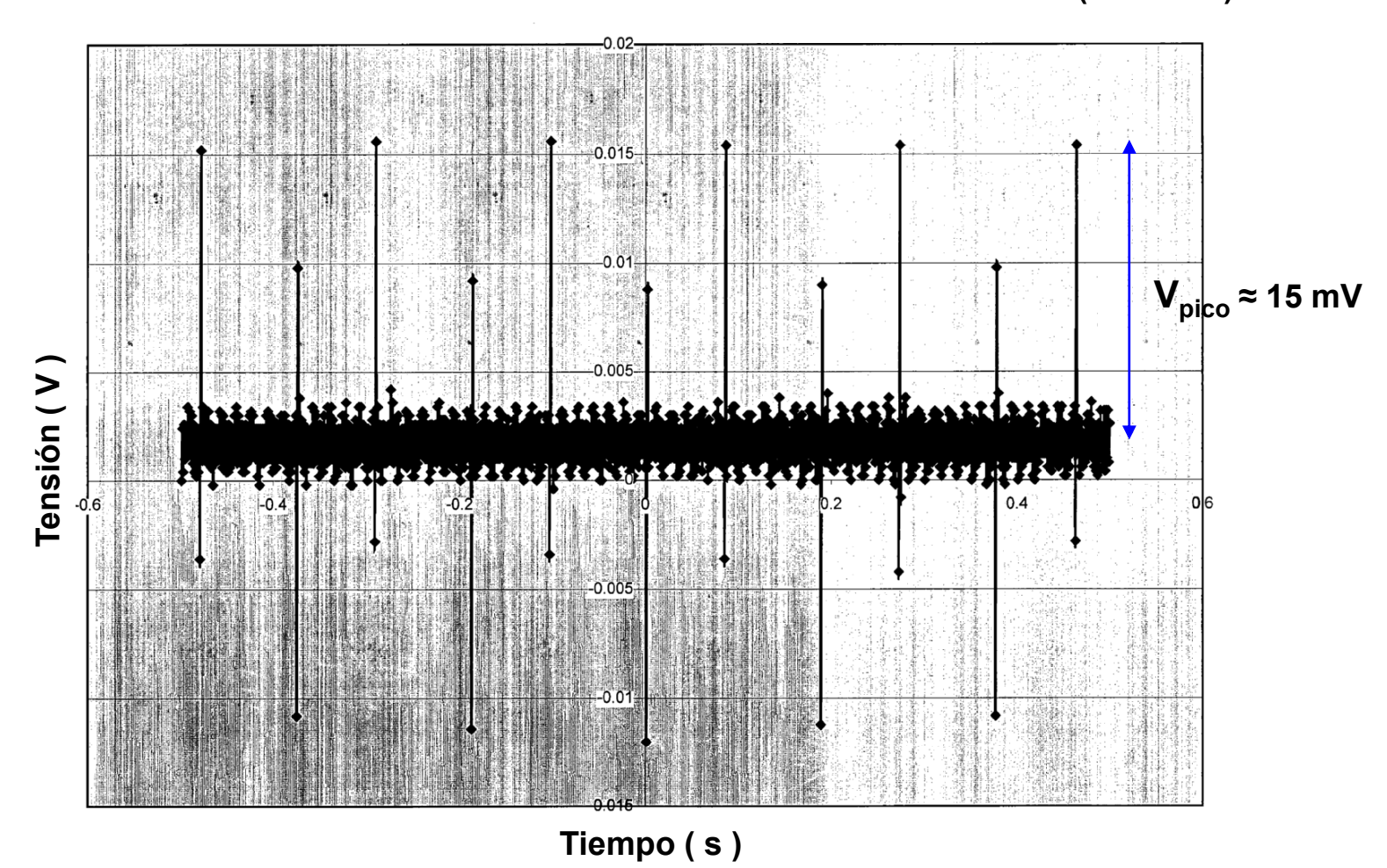
$$V_{d1}-V_{d2} = -V_{j1}-V_{j2}+2V_z$$

 $V_z = (V_{d1}-V_{d2}+V_{j1}+V_{j2}) / 2$

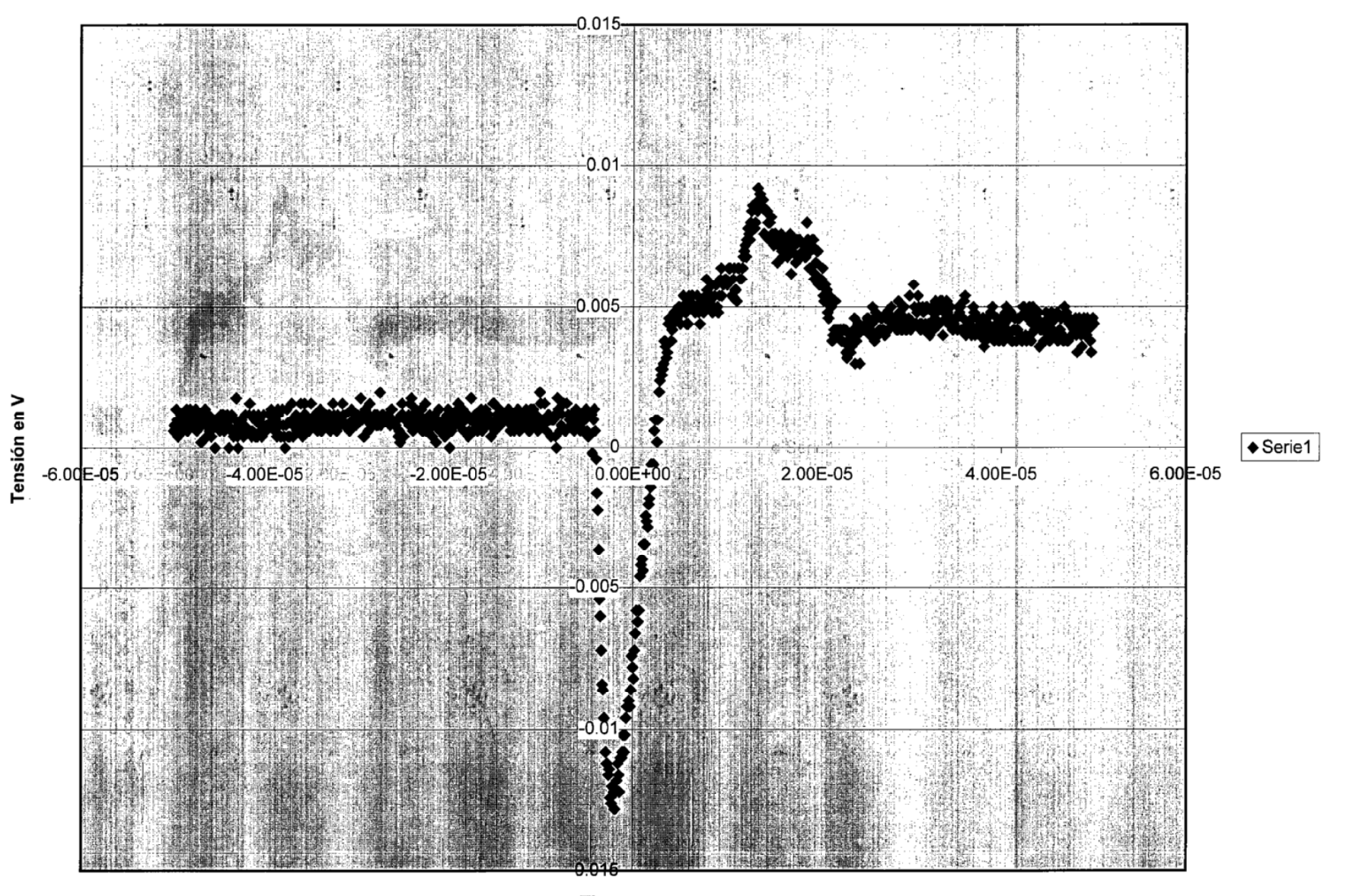
Detector de nulos



Ruido en las terminales de entrada de un multímetro HP 3458 (NPLC= 5)



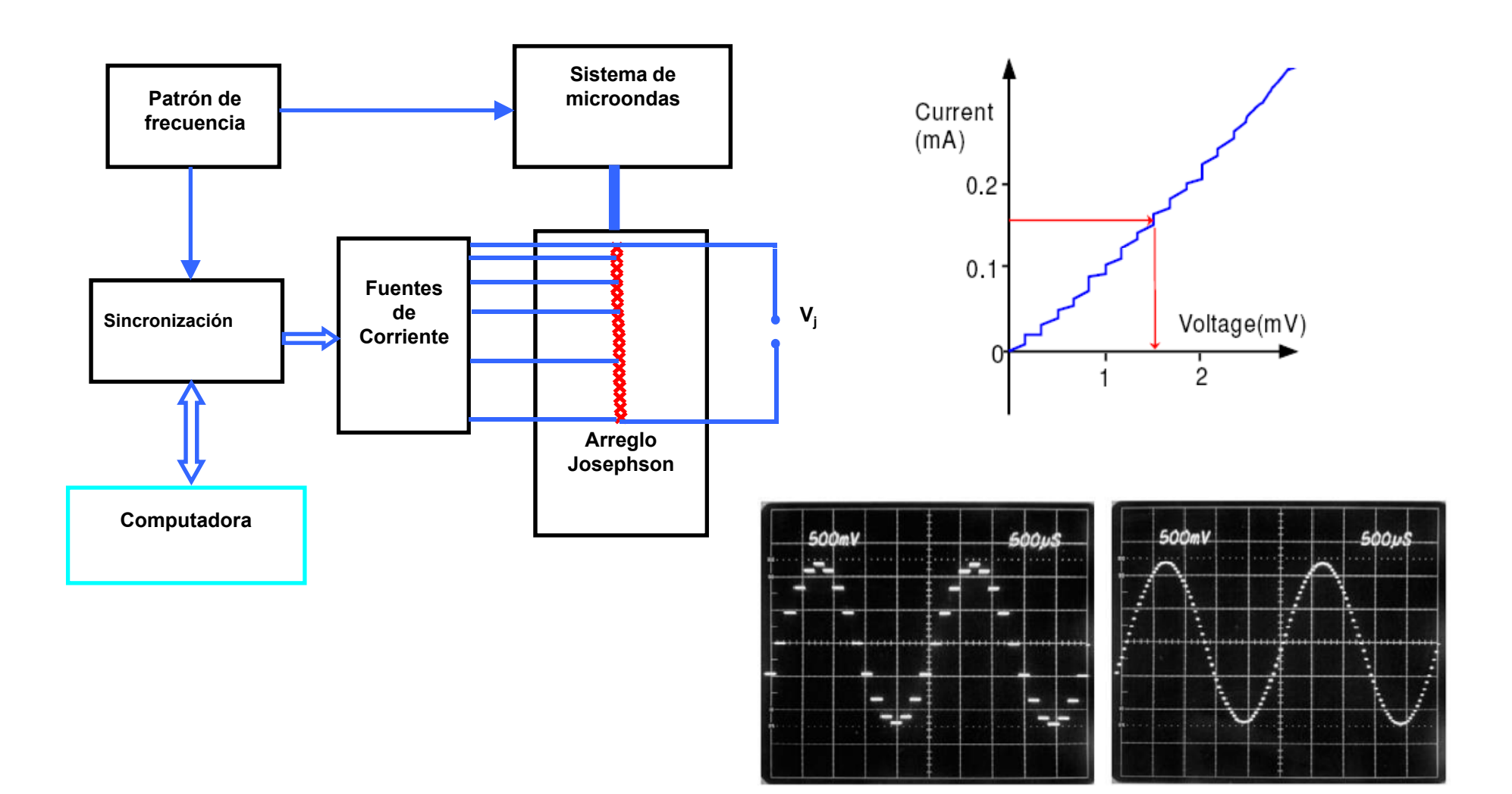
Pico a la salida del multímetro HP-3458



Tiempo en s

Nuevos desarrollos en patrones Josephson

Patrón de efecto Josephson Programable PJVS



Ventajas del PJVS sobre el JVS

- Chip perfectamente estable, alta inmunidad al ruido electromagnético (no hay transiciones de escalón espontáneas) Ancho de escalón de ≈ 1 mA
- Tiempos de polarización bajos (≈ 1µs) por lo que la generación de formas de onda arbitrarias de baja frecuencia es posible.
- Formas de onda con valor RMS calculables.

Conclusión

- Antes de llevar a cabo las medidas de reducción de ruido se tenía en promedio un cambio de nivel cuántico cada minuto.
 - Con los cambios descritos la estabilidad promedio del nivel cuántico es de alrededor de 30 min.
- El desarrollo tecnológico en Sistemas de efecto
 Josephson nos permitirá contar con sistemas totalmente estables y programables para aplicaciones en CC y en CA.